

تأثير الإجهاد التأكسدي المستحث من فرط الحديد على مستويات الكوليسترول والشحوم البروتينية قبل وبعد سن اليأس عند النساء

الكريطي, حيدر بخيت و الكناني ,رقية كريم
جامعة كربلاء- كلية التربية للعلوم الصرفة / قسم علوم الحياة

الخلاصة

شملت الدراسة التغيرات في حجم مكداس الدم (Packed cell volume (PCV), تركيز الهيموكلوبين Hemoglobin (Hb) وتركيز الحديد الحر (Free iron) وسعة ارتباط الحديد الكلي (Total iron binding capacity (TIBC) والنسبة المئوية لإشباع البروتين الناقل للحديد (الترانسفيرين) (Transferrin). وتركيز الكوليسترول الكلي في الدم (Total cholesterol (TC) والدهون الثلاثية (Triglycerides (TG) وتركيز الشحوم البروتينية عالية الكثافة (High density lipoproteins (HDL-C) والشحوم البروتينية واطئة الكثافة (Low density lipoproteins (LDL-C) والشحوم البروتينية واطئة الكثافة جدا (Very low density lipoproteins (VLDL-C). أذ قسمت عينات التجربة إلى مجموعتين (كل مجموعة 10 نساء) -مجموعة النساء ما قبل سن اليأس إذ تتراوح أعمارهن من 20-25 سنة و عينات النساء ما بعد سن اليأس واللاتي تتراوح أعمارهن من 50-55 سنة.. أظهرت نتائج الدراسة حدوث انخفاض معنوي عند مستوى احتمالية $P < 0.05$ في تركيز الهيموكلوبين ومكداس الدم في المجموعة الأولى (مجموعة نساء ما قبل سن اليأس) فيما لوحظ ارتفاع معنوي $P < 0.05$ في تركيز الحديد الحر في الدم (Free Iron) وسعة ارتباط الحديد الكلية ونسبة إشباع الترانسفيرين في المجموعة الثانية (مجموعة نساء ما بعد انقطاع الطمث). كما أظهرت الدراسة وجود ارتفاع معنوي ($P < 0.05$) في تركيز الكوليسترول الكلي (TC) وتركيز الدهون الثلاثية (TG) والكوليسترول في الشحوم البروتينية واطئة الكثافة (LDL-C) والشحوم البروتينية واطئة الكثافة جدا (VLDL-C) مجموعة ما بعد انقطاع الطمث بينما سجلت انخفاض معنوي ($P < 0.05$) في الشحوم البروتينية عالية الكثافة (HDL-C) بالمقارنة مع المجموعة الأولى. كما وجد البحث علاقة ارتباطيه بين مستويات الحديد المرتفعة وارتفاع مستويات الدهون والكوليسترول في المجموعة الثانية. أخذت عينات التجربة بشكل عشوائي وتم إجراء التحاليل في مختبرات كلية التربية /جامعة كربلاء.

Summary

The present study was aimed of studying the effect of oxidative stress induced by iron overload between two deferent groups in female on some biochemical parameters .

Blood samples were collected from two deferent groups, which age between (20-55)

5 ml of veins Blood were obtained from patients and control individuals after 12 hours of fasting. The serum obtained from the blood was used for enzymatic spectrophotometric was estimated from part of the blood which is placed in tube.

comprised study measuring the biochemical parameters : , Red blood corpuscles RBC, Packed cell volume PCV, Hemoglobin Hb, Free iron, Total iron binding capacity TIBC, Transferrin % ,Total cholesterol TC, Triglyceride TG ,High density lipoprotein- cholesterol HDL-C ,Low density lipoprotein- cholesterol LDL-C.

The result revealed that, decrease $p < 0.05$, PCV, Hb, in first group, and significant increase ($p < 0.05$) in serum Free iron, Transferrin %, TIBC in second group Compared with first group . found significant increase ($p < 0.05$) in serum High density lipoprotein- Total cholesterol TC, Triglyceride TG, LDL-C, VLDL-C compared with first group.

While found decrease $p < 0.05$ High density lipoprotein HDL-C compared with first group.

المقدمة

الحديد معدن ضروري يشترك في طيف عريض من الوظائف الفسيولوجية كونه عامل مساعد في عمل الإنزيمات وله أهمية في نقل الأوكسجين .

وعلى الرغم من فوائده الكثيرة فأن الفائض منه يمكن أن يكون ضارا جدا بسبب قدرته على تحفيز تفاعلات Fenton وتكوين الجذور الحرة Free radical والتي يمكن أن تهاجم الجزيئات الحيوية الكبيرة macromolecules مؤديا إلى أكسدة DNA ودهون الأغشية الخلوية (1), فضلا عن أن زيادة الحديد الحر Free iron يستطيع التفاعل مع الدهون غير المشبعة (UFA) Unsaturated fatty acids لينتج جذور alkoxyl (RO-) وperoxyl (ROO-) وهذه التفاعلات تؤدي إلى ضعف في الوظائف الخلوية ومن ثم تضرر الأنسجة أو الأعضاء والتي تكون واضحة في أمراض حمل الحديد (2-3).

كما أن نقص الحديد Anemia حالة شائعة عند الشباب اليافعين والإناث في سن المراهقة , ويعني فقر الدم Anemia قلة أعداد كريات الدم الحمر أو قلة حجم الخلايا

المرصوفة أو قلة خضاب الدم (الهيموكلوبين) أو الثلاثة معاً ، أو أي حالة تتميز بعدم كفاية الهيموكلوبين في الدورة الدموية نتيجة لزيادة تحطم كريات الدم الحمر أو فقدان كريات الدم الحمر أو قلة إنتاج كريات الدم الحمر. ويعرف فقر الدم وظيفياً على أنه قلة سعة حمل الأوكسجين في الدم (3).

تقسم المسببات إلى مسببات شائعة وأخرى أقل شيوعاً إذ تشمل المسببات الشائعة كل من فقدان الدم في حالات الإصابة بالطفيليات المعوية والطفيليات الخارجية وقرحة المعدة ، أو من خلال التحلل الدموي (Hemolysis) كما يحدث في حالات الإصابة بالطفيليات الدموية وحالة التسمم المزمن بالنحاس ، أو من خلال الإنتاج غير الكافي لكريات الدم الحمر كما في حالة خراجات الكبد وذات الرئة المزمن و تحدث لإعراض التقدمية للنقص بثلاث مستويات (1) مستوى نضوب الحديد iron depletion و(2) مستوى نقص الحديد في كريات الدم حديثة التكوين iron deficient erythropoiesis والتي تنخفض فيها مستويات الحديد والفرتين في المصل لكن لا يحدث فقر دم أو شحوب في لون كريات الدم ثم تحدث المرحلة الثالثة(3) iron anemia deficiency وهي المرحلة التي يستنفذ الحديد من مخازنه في الأنسجة(4).

وأية دور للحديد في أمراض القلب الوعائية افترض من قبل سوليفان 1981 كتفسير لاحتمالية التباير بين الجنسين إذ افترض أن الحسائر الحادثة للحديد في الحيض توضح قلة الإصابة بمرض الشرايين التاجية في النساء قبل سن اليأس مقارنة بالرجال والنساء في المرحلة ما بعد انقطاع الطمث .

والتأثير المضاد للحديد قد يتعلق بقابليته على تحفيز وتكوين جذور الأوكسجين عالية التفاعل والترويج لإحداث الأوكسدة الفوقية للدهون(5-6) فقد وجدت بعض الدراسات ارتباط بين الإجهاد التأكسدي Oxidative stress وتطور مرض تصلب الشرايين atherosclerosis وعلاقته بأمراض القلب الوعائية Cardiovascular disease(7)

فقد ذكر (8-9) أن الحديد والنحاس ضروريان لأوكسدة الدهون البروتينية في الخلايا الطلانية والبلعمية في التجارب التي أجريت خارج جسم الكائن الحي *in vitro* , فيما أشار(10) أن الحديد عامل مؤكسد per oxidation للشحوم البروتينية واطئة الكثافة من خلال اختزال مستويات مضادات الأوكسدة في البلازما, فيما بين(11) أن حمل الحديد يسبب اغلب الوفيات في مرضى التلاسيميا نتيجة عجز القلب والموت المفاجئ .

ولأهمية دور الحديد في أحداث الإجهاد التأكسدي للدهون هدفت الدراسة إلى معرفة دور التباير في مستويات الحديد على مستويات الكوليسترول والشحوم البروتينية في عينتين مختلفتين من النساء.

طرائق العمل

جمع العينات :

استخدمت في التجربة (20) عينة من النساء اللاتي يتراوح أعمارهن من 20-55 سنة إذ تم التأكد من سلامتهن من الأمراض المزمنة والتدخين وكذلك عدم تعرضهن لعمليات جراحية أو نزف شديد أو عمليات نقل دم أو تناول عقاقير كفيتامين B₁₂ أو الأسبرين.

تصميم التجربة :

قسمت النساء إلى مجموعتين:-المجموعة الأولى نساء ما قبل سن اليأس وبعدها (10) نساء و تتراوح أعمارهن من 20-25 سنة, إما المجموعة الثانية نساء ما بعد سن اليأس وبعدها (10) نساء و تتراوح أعمارهن من 50-55 سنة. تم سحب 5 مل من الدم الوريدي بعد فترة صيام 12 ساعة ووضع في أنابيب بلاستيكية غير حاوية على الهيبارين ثم وضعت في جهاز الطرد المركزي لمدة 15 دقيقة وبسرعة 3000 دورة في الدقيقة، ثم سحب المصل وعزل في أنابيب حفظت في التجميد بدرجة -20 مئوية لحين قياس المتغيرات الكيموحيوية, في حين تم إجراء تحليل النتائج واختبار أقل فرق معنوي Least Significant difference (L.S.D) لإظهار معنوية النتائج ، وتم استخراج المتوسط الحسابي والخطأ القياسي (S.E) بالاعتماد على المصدر(12).

الفحوص الدموية و الاختبارات الكيموحيوية:

● قياس تركيز الهيموكلوبين (Hb) Determination of Hemoglobin in Blood :-

تم قياس الهيموكلوبين باستخدام طريقة سالي (Sahli) ، وأساس هذه الطريقة هي تحول خضاب الدم إلى هيماتين حامضي ، والنتائج من تفاعل حامض الهيدروكلوريك 1% (HCl) المضاف ، وبعد تخفيف هذا المزيج بالماء المقطر يقارن مع اللون القياسي للجهاز وتحسب القيمة بالغرام / 100 مل من الدم حسب الطريقة المعتمدة من قبل (13).

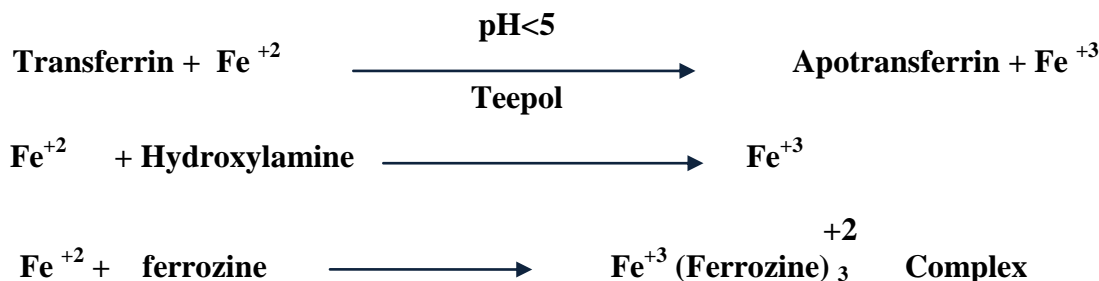
● قياس حجم الخلايا المرصوفة (PCV):

استخدمت طريقة المكداس الدقيقة (Microhaematocrit) باستعمال الأنابيب الشعرية (Capillary tubes) واستخدم جهاز الطرد المركزي الخاص لحجم الخلايا المرصوفة (Microhaematocrit centrifuge) ، ثم قرأت النتيجة بواسطة المسطرة الخاصة (PCV reader) ، وحسبت النتيجة بالنسبة المئوية (%) بالاعتماد على الطريقة المتبعة من قبل (13) .

● **تقدير تركيز الحديد في المصل:- Determination of serum iron concentration**

تم قياس تركيز الحديد في مصل الدم باستخدام عدة التقدير الجاهزة Kit والمجهزة من شركة linear الاسبانية وحسب المبدأ التالي:-

الحديدك Fe^{+3} المرتبط مع بروتين ferritin في المصل ينفصل في الوسط الحامضي الضعيف بمساعدة Teepol & guanidium chlorid ثم يختزل بواسطة hydroxylamine إلى الحديدوز Fe^{+2} مكون ايون الحديد الثنائي كمعقد لوني نسيبا مع ferrozine والذي من خلاله نستطيع تحديد تركيز الحديد في النموذج حسب المعادلات الآتية :-



وأجريت التجربة كما يأتي:-

أنبوبة القياسي Standard	العينة Sample	كفو النموذج Serum blank	كفو الكاشف Reagent blank	الأنابيب
-	-	-	200µl	ماء مقطر Distal water
-	200µl	200µl	-	النموذج Sample
200µl	-	-	-	محلول القياسي Standard
-	-	1.0 ml	-	الكاشف المستخدم R1
1.0 ml	1.0 ml	-	1.0ml	خليط الكواشف R1+R2

ملاحظة:- يحضر خليط الكواشف أنيا من مزج (4 احجام من R1+R1 حجم من R2) بعد مزج محتويات الأنابيب جيداً، تركت لمدة 5 دقائق ثم تؤخذ الامتصاصية لها عند الطول الموجي 560 نانوميتر باستخدام جهاز المطياف الضوئي spectrophotometer . إذ تتم قراءة الامتصاصية لمحلول كفو النموذج مقابل امتصاصية أنبوبة الماء المقطر ثم تقرأ امتصاصية أنابيب العينة وأنبوبة المحلول القياسي مقابل أنبوبة محلول كفو الكاشف . ويتم حساب تركيز الحديد وفقاً للصيغة الآتية تم الطريقة المعتمدة من قبل (14) :

$$\text{تركيز الحديد مايكرو غرام/100 مل} =$$

$$\frac{\text{الامتصاص الضوئي لعينة محلول الكفو- الامتصاص الضوئي لعينة المصل}}{\text{الامتصاص الضوئي للمحلول القياسي}} \times \text{تركيز المحلول القياسي}$$

● **تقدير سعة ارتباط الحديد الكلية في المصل:- Determination of total iron banding capacity (TIBC) in serum**

تم تحديد تركيز TIBC في المصل باستخدام عدة التقدير الجاهزة Kit والمجهزة من شركة linear الاسبانية وحسب المبدأ التالي:- حديد المصل المرتبط مع Transferrin يكون مشبع فقط لثلاث مناطق ارتباط الحديد بالبروتين و هناك مناطق غير مشبعة بالحديد (UIBC) لها القابلية على الارتباط عند توفر الحديد .

يقاس TIBC أولاً بواسطة اشباع Transferrin من خلال تزويده بالحديد Fe^{+3} وما يتبقى من الحديد يمتص مع كربونات المغنسيوم وعند اكتمال عملية الربط والالتحام يزال بواسطة عملية الطرد المركزي ونقيس إشباع الحديد المتكون في المحلول .

الكواشف:-

- أ. R1 محلول الحديد (500 مايكرو غرام/مل دم)
ب. R2 مسحوق كربونات المغنسيوم

طريقة العمل:- حسب الطريقة المعتمدة من قبل (15)

1	=	العينة	=	النسبة	0.5 ml	العينة Sample
2					1.0 ml	كاشف R1
		كاشف R1		معامل التخفيف = 3		

- أ. تمزج الأنابيب جيدا وتترك لمدة 15 دقيقة في درجة حرارة الغرفة .
 ب. نضيف ملعقة واحدة من كاشف R2 "حوالي 100 ملغم" لكل أنبوبة وتترك لمدة 30 دقيقة بحرارة الغرفة.
 ج. تمزج الأنابيب بجهاز المازج Vortex بشدة بفترات منتظمة كل 5 دقائق ولمدة 30 دقيقة.
 د. توضع الأنابيب في جهاز الطرد المركزي لمدة 10 دقائق وبسرعة 3000 دورة/دقيقة .
 ثم تقاس الامتصاصية للسائل الطافي على طول ألموجي 560 نانوميتر .

الحسابات:-

سعة ارتباط الحديد الكلية :-

$$\text{TIBC (مايكرو غرام/100 مل)} = \frac{\text{الامتصاصية للعينة} \times \text{تركيز محلول القياسي}}{\text{الامتصاصية للمحلول القياسي}} \times \text{معامل التخفيف}$$

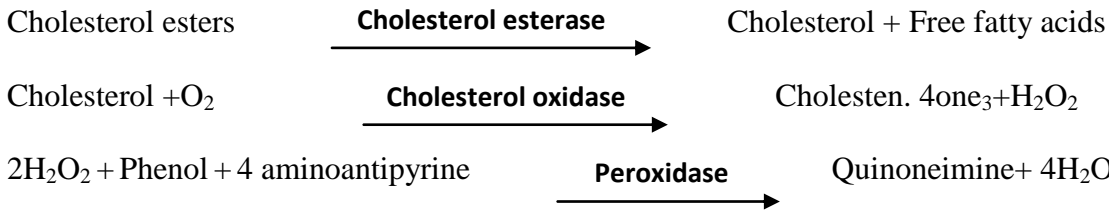
- حساب النسبة المئوية المنوية لإشباع ناقل الحديد الترانسفيرين % **Transferrin**
 تم حساب النسبة المئوية للإشباع حسب الطريقة المعتمدة من قبل (15)

تركيز الحديد في المصل $\times 100$

الامتصاصية للمحلول القياسي

النسبة المئوية للإشباع % =

- **Determination of total cholesterol concentration in serum** - تقدير تركيز الكوليسترول الكلي في مصل الدم:-
 قيس مستوى الكوليسترول في مصل الدم باستخدام عدة التقدير الجاهزة Kit والمجهزة من شركة linear الاسبانية وحسب أساس التفاعل التالي :



إن المعقد Quinoneimine يعطي لون وردي /احمر تختلف شدته بحسب تركيز الكوليسترول في الدم بعدها تمت قراءة النماذج عند طول موجي قدره 500 نانوميتر مقابل محلول الكفاء Blank بواسطة جهاز مقياس الطيف الضوئي ومن ثم حساب تركيز الكوليسترول وفق الصيغة الآتية وحسب الطريقة المعتمدة من قبل (16):

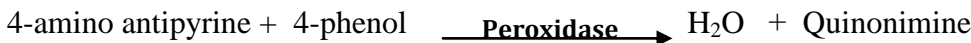
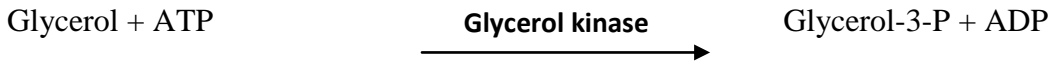
تركيز الكوليسترول الكلي (ملغم/ديسي لتر) =

\times تركيز المحلول القياسي (200 ملغم/100 مل دم)

الامتصاص الضوئي لعينة المصل

الامتصاص الضوئي للمحلول القياسي للكوليسترول

- **Determination of triglyceride concentration in serum :-** تقدير تركيز الكليسيريدات الثلاثية في المصل : تم قياس مستوى الكليسيريدات الثلاثية في مصل الدم باستخدام عدة التقدير لجهازه Kit والمجهزة من شركة linear الاسبانية, أساس هذه الطريقة تحليل الكليسيريدات الثلاثية إنزيميا إلى الكليسيرول وفقاً للتفاعلات الآتية :



بعدها تمت قراءة النماذج عند طول موجي قدره (500) نانوميتر باستخدام جهاز مقياس الطيف الضوئي وتم حساب الكليسيريدات الثلاثية وفقاً للصيغة الآتية حسب طريقة المعتمدة من قبل (16) :

$$\text{تركيز الكليسيريدات الثلاثية (ملغم/ديسي لتر)} =$$

$$\times \text{تركيز المحلول القياسي (200ملغرام/100مل دم)}$$

الامتصاص الضوئي للمحلول القياسي

- **Determination of serum high density lipoproteins :-** تقدير مستوى الشحوم البروتينية عالية الكثافة في المصل :- **HDL-C**

استخدم في تقدير مستوى الشحوم البروتينية عالية الكثافة في مصل الدم عدة التقدير الجاهزة Kit والمجهزة من شركة linear الاسبانية وتعتمد هذه الطريقة على أساس إن الكابيلومايكرونات الشحوم البروتينية واطئة الكثافة و الشحوم البروتينية واطئة الكثافة جداً تترسب مع حامض الفوسفوتنكستيك phosphotungstic acid بوجود أيونات المغنيسيوم . وتم حساب تركيز الشحوم البروتينية عالية الكثافة وفقاً للصيغة الآتية حسب طريقة المعتمدة من قبل (16) :

$$\text{تركيز الشحوم البروتينية عالية الكثافة (ملغم/ديسي لتر)} =$$

$$\times \text{تركيز المحلول القياسي (55ملغرام/100مل)}$$

الامتصاص الضوئي للمحلول القياسي

- **Determination of serum low density lipoproteins LDL-C :-** حساب مستوى الشحوم البروتينية واطئة الكثافة للكولسترول :-

تم قياس تركيز مستوى الشحوم البروتينية واطئة الكثافة للكولسترول باستخدام الصيغة الآتية حسب طريقة المعتمدة من قبل (16) . الشحوم البروتينية واطئة الكثافة (ملغم/ديسي لتر) = الكوليستيرول الكلي - (الشحوم البروتينية عالية الكثافة للكولسترول + الكليسيريدات الثلاثية/5)

- **Determination of serum very low density lipoproteins VLDL-C :-** حساب مستوى الشحوم البروتينية واطئة الكثافة جداً للكولسترول :-

قدرت مستويات الشحوم البروتينية واطئة الكثافة جداً للكولسترول وفق الصيغة الآتية حسب طريقة المعتمدة من قبل (16) : الشحوم البروتينية واطئة الكثافة جداً

تركيز الكليسيريدات الثلاثية

التحليل الاحصائي

تم تحليل النتائج وفق اختبار F واستخدام اختبار أقل فرق معنوي (Least Significant difference L.S.D) لإظهار معنوية النتائج ، وتم استخراج المتوسط الحسابي (Mean M) والخطأ القياسي (Standard Error S.E). المعنوية بالاعتماد على المصدر (12).

النتائج والمناقشة

في الدراسة الحالية تم بحث التغييرات في مستويات الدهون و الحديد في عينتين مختلفتين من النساء وقد جاءت نتائج البحث متفقة مع الفرضية المقترحة من قبل سوليفان 1981 الذي اقترح أن ارتفاع مستويات الحديد في النساء ما بعد انقطاع الطمث يؤدي إلى زيادة في مستويات الدهون وبالتالي حصول زيادة ملحوظة في أمراض القلب الوعائية. إذ وجدت الدراسة الحالية انخفاض في حجم مكداس الدم ومستويات الهيموغلوبين كما في جدول (1) عند النساء في فترة ما قبل سن اليأس مقارنة بالمجموعة الثانية (النساء بعد سن اليأس) وعزى السبب ذلك إلى وجود فقر الدم بسبب فقدان الدم نتيجة الحيض أذ سجل (17) أن النساء يفقدن في الحيض من الدم 80 مل مقارنة بالنساء ما بعد سن اليأس . كما وجد ارتفاع في مستويات الحديد والنسبة المئوية لإشباع الترانسفيرين جدول (2) في المجموعة الثانية (مجموعة نساء ما بعد سن اليأس) مقارنة بالمجموعة الأولى والسبب في ذلك أن النساء في هذه المرحلة لاتعاني فقدان الدم لتوقف الحيض عندهن وعدم حصول أية خسائر للدم .

جدول (1) يبين مستويات الهيموكلوبين ومكداس الدم قبل وبعد سن اليأس عند النساء

المعايير	النساء قبل سن اليأس المعدل ± الخطأ القياسي	النساء بعد سن اليأس المعدل ± الخطأ القياسي
% PCV	11.3 0.2±	13.2* 0.3±
HB (غرام/100مل)	36.9 0.6±	42.7* 1.1±

مستوى المعنوية $P < 0.05$

*يدل على المعنوية

جدول (2) يبين مستويات الحديد وإشباع الترانسفيرين Transferrin قبل وبعد سن اليأس عند النساء

المعايير	النساء قبل سن اليأس المعدل ± الخطأ القياسي	النساء بعد سن اليأس المعدل ± الخطأ القياسي
الحديد (مايكروغرام/100مل)	55.6 3.1±	77.4* 3.3±
TIBC (مايكروغرام/100مل)	262.3 12.1±	257.7 22.5±
الترانسفيرين Transferrin % (مايكروغرام/100مل)	21.7 1.7±	32.4 3.64±

مستوى المعنوية $P < 0.05$

*يدل على المعنوية

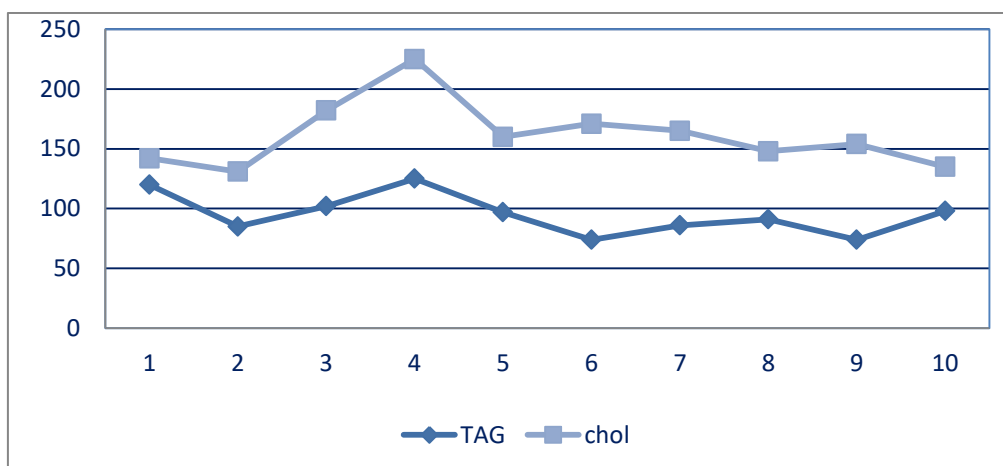
كذلك وجدت الدراسة ارتفاع في مستويات الكوليسترول والشحوم البروتينية واطئة الكثافة وانخفاض في مستويات الشحوم عالية الكثافة جدول (3) في النساء ما بعد سن اليأس ويعزى سبب ذلك إلى حصول جهد تأكسدي للشحوم البروتينية نتيجة ارتفاع المؤكسدات أو انخفاض في مستويات الهرمونات الجنسية (الاستروجين والبروجسترون) واللذان يعدان من العوامل المهمة التي تعمل كمضادات أكسدة للحماية من الأكسدة الفوقية للدهون أذ وجد ان المعالجة بالاستروجين له دور مهم في التأثير على مستويات الكوليسترول والشحوم البروتينية الدوارة في الدم عند النساء في مرحلة سن اليأس بنسبة 35-50% (18). اذ وجد إن للاسترادايول قابلية في تقليل إنتاج الجذور الحرة في الخلايا العضلية للمساء الوعائية من خلال زيادة فعالية السوبر اوكسايدديسموتيز SOD ومنغيز السوبر اوكسايدديسموتيز MnSOD والتي تكبح جذور الأوكسجين الحرة مما يسبب زيادة في مستوى GSH الأنسجة (19) مما يؤكد ارتباط تأثير الاستروجين الوعائي مع مكونات مضادات الأكسدة،

جدول (3) يبين مستويات الدهون والكوليسترول قبل وبعد سن اليأس عند النساء

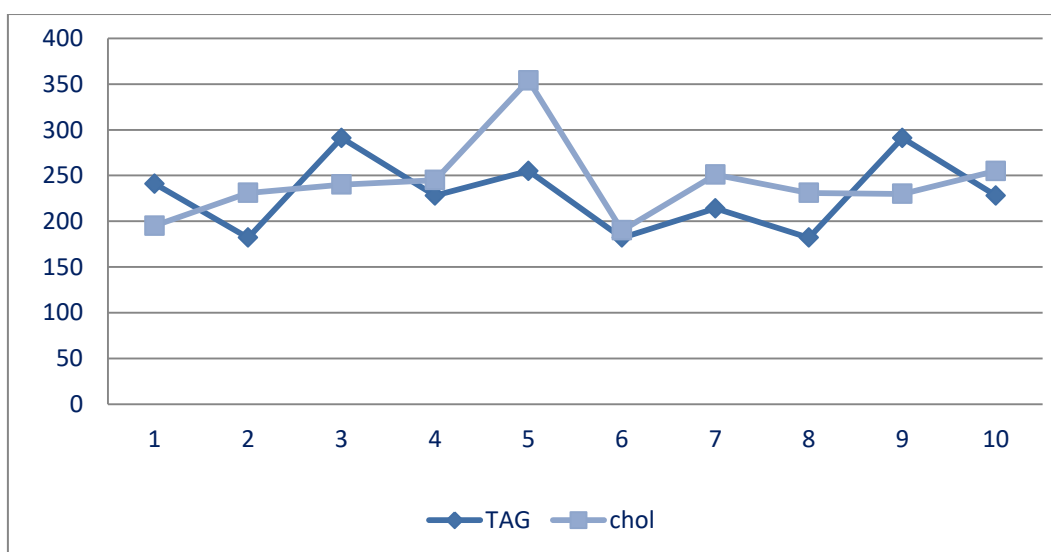
المعايير	النساء قبل سن اليأس المعدل \pm الخطأ القياسي	النساء بعد سن اليأس المعدل \pm الخطأ القياسي
Chlo (ملغم/ديسي لتر)	163.9	242.2*
HDL (ملغم/ديسي لتر)	52.6	43.0*
TAG (ملغم/ديسي لتر)	96.4	218.1*
LDL (ملغم/ديسي لتر)	92.1	155.5*
VLDL (ملغم/ديسي لتر)	19.2	43.6*
	1.2 \pm	3.1 \pm

مستوى المعنوية $P < 0.05$
*يدل على المعنوية

وجد البحث حصول ارتباط ايجابي بين مستويات الحديد و مستويات الكوليسترول أذ لوحظ أن ارتفاع مستويات الحديد والترانسفيرين في المجموعة الثانية(النساء بعد سن اليأس) أدى إلى ارتفاع في مستويات الكوليسترول والدهون الثلاثية وهذه العلاقة تؤكد فرضية سوليفان 1981 الذي اقترح أن التغيرات في مستويات الحديد يؤثر على مستويات الكوليسترول والشحوم البروتينية شكلي(1و2).



شكل(1) يوضح العلاقة بين مستويات الحديد والكوليسترول والدهون الثلاثية عند النساء قبل سن اليأس



شكل(2) يوضح علاقة بين ارتفاع مستويات الحديد والكوليسترول والدهون الثلاثية في مجموعة نساء ما بعد سن اليأس

إن فرط الحديد يؤدي إلى حدوث زيادة في الجذور الحرة (البيروكساييل, الهيدروكسيل) وهي من العوامل المهمة التي تؤدي إلى حصول الأكسدة الفوقية للدهون وبالتالي ارتفاع مستويات الكولسترول وإمراض القلب الوعائية⁽²⁰⁾ .
أذ أشارت العديد من الدراسات بان دالة الدهون تكون متأثرة بكمية الحديد⁽²⁰⁻²²⁻²³⁾ فقد وجد إن مستوى الكولسترول يكون منخفض عند مرضى فقر الدم المنجلي كما لاحظ ان تركيز الكولسترول والدهون الثلاثية كانت منخفضة جدا في الإناث اللائي يعانين فقر دم حاد كذلك وجد⁽²⁴⁾ إن زيادة كميات الحديد الغذائية لها علاقة ايجابية في حدوث أحتشاء عضلة القلب في دراسة استمرت 3 سنوات على 1931 رجل فنلندي .
كذلك وجدت دراسات إن انخفاض مخازن الحديد في الجسم يقلل من الإصابة بمرض الشرايين التاجية في دراسة أجريت على أشخاص متبرعين بالدم إذ وجد عندهم انخفاض في احتمالية حدوث الإصابة بـCHD بعكس الأشخاص الغير متبرعين⁽²⁴⁻²⁵⁾ .

المصادر

- (1) Bergeron, R.; Huang, G.; Smith, R.; Bhart, N.; McManis, J. & Butler, A. (2003). Total synthesis and structure revision of pertrobactin. *Tetrahedron*, **59**: 2007-2014.
- (2) Wong, C. & Richardson, D.R. (2003). B-Thalassemia : emergence of new and improved iron chelators for treatment. *Int. J. Bioch. cell Biol.*, **35**: 1144-1149.
- (3) Lieu, P.; Heiskala, M.; Peterson, P. & Yang, Y. (2001). The roles of iron in health and disease. *Mol. Aspect Med.*, **22**: 1-87.
- (4) Suominen, P.; Punnonen, K.; Rajamaki, A. & Irjala, K. (1998). Serum transferrin receptor and transferrin receptor-ferritin index identify healthy subjects with subclinical iron deficits. *Blood*, **8**: 2934-2939.
- (5) Crawford, R. D. (1995). Proposed role for a combination of citric acid and ascorbic acid in the production of dietary iron overload: a fundamental cause of disease. *Bioch. Mol. Med.*, **54**: 1-11.
- (6) Weinberg, E. D. (1990). Cellular iron metabolism in health and disease. *Drug. Metab. Rev.*, **22**: 531-579.
- (7) Lichtentsein, A. H. (1996). Atherosclerosis. In: present knowledge in nutrition by Ziegler, E. & Filer, L. J., ed ILSI Press, Washington, DC .430-437.
- (8) Leake, D. S. & Rankin, S. M. (1990). The oxidative modification of low-density lipoproteins by macrophages. *Biochem. J.*, **270**: 741-748.
- (9) Hoeschen, R.J. (1997). Oxidative stress and cardiovascular disease. *Can. J. Cardio.*, **13**: 1021-1025.
- (10) Dabbagh, A.J.; Sean, T.M.; Lynch, M. & Frei, B. (1994). The effect of iron overload on rat plasma and liver oxidant status in vivo. *Biochem. J.*, **300**: 799-803.
- (11) Zurlo, M.G.; De Stefano, P. & Borna-Pignatti, C. (1989). Survival and causes of death in thalassaemia major. *Lancet*, **ii**: 27-30.
- (12) Steel, R. & Torries, J. (1980). Principles and Procedures Statistics a biometrical Approach. 2nd (ed) .Mc .Jan.44-48.
- (13) Coles, H. (1986). Veterinary clinical pathology ed. Saunders Co. Philadelphia, London. pp: 15-20, 53-56, 68, 139.
- (14) Hill, A.; Patterson, K.; Veillon, C., & Morris, E. (1986). Digestion of biological materials for mineral analyses using a combination of wet and dry ashing, *Anal. Chem.* **58**, 2340-2342
- (15) Wolmsley, R. N. & White, G. H. (1988). A guide to diagnostic clinical chemistry. 2nd ed. Blackwell Scientific Publications. Oxford.
- (16) Friedwald, W; Levy, R & Fredrickson, D.S. (1972). Estimation of the concentration of low-density lipoprotein cholesterol in plasma without use of the preparative ultracentrifuge. *Clin Chem*, **18**: 499-502.
- (17) Berger, J.; Schneider, D.; Dyck, J.; Joseph, A.; Aplogan, A.; Galan, P. & Hercberg, S. (1992). Iron-deficiency, cell-mediated immunity and infection among 3-36 month old children living in rural Togo. *Nut. Res.*, **12**: 39-49.
- (18) Grodstein, F.; Stampfer, M.J.; Colditz, G.A. (1997). Postmenopausal hormone therapy and mortality. *N. Engl. J. Med.*, **336**: 1769 - 1775.
- (19) Strehlow, K.; Rotter, S.; Wassmann, S.; Adam, O.; Grohe, C.; Laufs, K.; & Nickenig, G. (2003). Modulation of estrogen. *Circulation Research*, **93**: 170.
- (20) El-Hazmi, M.; Jabbar, F. & Warsy, A. (1987). Cholesterol and triglyceride level in patients with sickle cell anaemia. *Scan J Clin Lab Invest*, **47**: 351-354.
- (21) Stangl, G. & Kirchgessner M. (1998). Different degrees of moderate iron deficiency modulate lipid metabolism of rats. *Lipids*, **33**: 889-895.
- (22) Jong, W.; Soon, K. & Soo, H. (2001). Changes in Serum Lipid Concentrations during Iron Depletion and after Iron Supplementation, *Annals of Clinical & Laboratory Science*, **31**, 2
- (23) Salonen, J.; Nyyssonen, K. & Korpela H. (1992). High stored iron levels are associated with excess risk of myocardial infarction in Eastern Finnish men. *Circulation*, **86**: 803-811.
- (24) Olson, R.E. (1989). A critique of the report of the National Institute of Health Expert Panel on detection, evaluation, and treatment of high blood cholesterol. *Arch. Intern. Med*, **149**: 1501-1503.